

$^{18}\text{O}(^{13}\text{C},\alpha n\gamma)$  2014Bh03

Type	Author	History	Citation	Literature Cutoff Date
Full Evaluation	M. S. Basunia and A. M. Hurst		NDS 134,1 (2016)	1-Feb-2016

Target: Ta<sub>2</sub>O<sub>5</sub> (effective  $^{18}\text{O}$  thickness  $\approx 1.6$  mg/cm<sup>2</sup>), was prepared heating 50 mg/cm<sup>2</sup> thick Ta foil in enriched  $^{18}\text{O}$ ; Projectile:  $^{13}\text{C}$ , E=30 MeV; Measured  $E\gamma$ ,  $I\gamma$ ,  $\gamma\gamma$  coin,  $\gamma(\theta)$ ,  $\gamma\gamma(\theta)$ ,  $\gamma\gamma$ (linear polarization) using an array of 15 Compton-suppressed Clover detectors.

 $^{26}\text{Mg}$  Levels

E(level) <sup>†</sup>	J <sup>π</sup>	Comments
0.0	0 <sup>+</sup>	
1809.0 8	2 <sup>+</sup>	
2939.3 8	2 <sup>+</sup>	
3083.2 22		
3420.5 19		
3565.2 21		
3588.7 23	0 <sup>+</sup>	
3943.0 10	3 <sup>+</sup>	
4318.4 11	4 <sup>+</sup>	
4332.0 14	2 <sup>+</sup>	
4350.7 9	3 <sup>+</sup>	
4645.2 15		
4839.2 13	2 <sup>+</sup>	
4901.2 22	4 <sup>+</sup>	
5181.9 12		
5292.4 22	2 <sup>+</sup>	
5476.6 11	4 <sup>+</sup>	
5691.5 14	1 <sup>+</sup>	
5711.3 24		
5715.5 11	4 <sup>+</sup>	
6125.6 25	3 <sup>+</sup>	
6256.6 19	0 <sup>+</sup>	
6484.7 18		
6622.6 13	4 <sup>+</sup>	
6634.6 22	1 <sup>+</sup>	
6953.1 19	(2) <sup>+</sup>	J <sup>π</sup> : From shell model calculations.
6973.2 22	4 <sup>+</sup>	J <sup>π</sup> : 3030γ D+Q to 3 <sup>+</sup> and parity from shell model calculations.
6978.5 13	5 <sup>+</sup>	
7099.7 22	2 <sup>+</sup>	
7261.2 22	2 <sup>-</sup>	
7283.2 22	4 <sup>-</sup>	
7395.5 15	5 <sup>+</sup>	
7543.3 22	2 <sup>-</sup>	
7771.6 23	4 <sup>+</sup>	
7952.6 23	5 <sup>-</sup>	
8201 3	6 <sup>+</sup>	
8472.6 19	6 <sup>+</sup>	
8903.6 24	3 <sup>-</sup>	
9171 4	6 <sup>-</sup>	
9539.9 17	5 <sup>+</sup>	
9830 4	7 <sup>+</sup>	

<sup>†</sup> From a least-squares fit to  $E\gamma$ .

<sup>18</sup>O(<sup>13</sup>C, $\alpha$ n $\gamma$ ) **2014Bh03 (continued)**

$\gamma$ (<sup>26</sup>Mg)

R( $\theta$ )= $\gamma$  anisotropy ratio for 40°, 65° and 90° geometry. For a  $\Delta J=1$ , dipole transition, expected ratios are 0.95 and 1.13 for gating on  $\Delta J=1$  and  $\Delta J=2$  transitions, respectively. Similarly, for a  $\Delta J=2$ , quadrupole transition, expected ratios are 1.82 and 1.68 for gating on  $\Delta J=1$  and  $\Delta J=2$  transitions, respectively.

Polarization values are integral polarization asymmetries from oriented nuclei. Expected value is positive for electric and negative for magnetic transitions.

<u>E<sub><math>\gamma</math></sub></u>	<u>I<sub><math>\gamma</math></sub></u>	<u>E<sub>i</sub>(level)</u>	<u>J<sub>i</sub><sup><math>\pi</math></sup></u>	<u>E<sub>f</sub></u>	<u>J<sub>f</sub><sup><math>\pi</math></sup></u>	<u>Mult.<sup>†</sup></u>	<u><math>\delta</math></u>	<u>Comments</u>
565.1 13		6256.6	0 <sup>+</sup>	5691.5	1 <sup>+</sup>	D <sup>#</sup>		
833.1 13		6125.6	3 <sup>+</sup>	5292.4	2 <sup>+</sup>			
896.0 13	2.1 22	4839.2	2 <sup>+</sup>	3943.0	3 <sup>+</sup>	M1+E2		R( $\theta$ )=1.01 1, pol=+0.21 33.
1004.1 16	29 8	3943.0	3 <sup>+</sup>	2939.3	2 <sup>+</sup>	M1+E2		R( $\theta$ )=0.92 16, pol=-0.20 6.
1130.4 3	100 7	2939.3	2 <sup>+</sup>	1809.0	2 <sup>+</sup>	M1+E2	-0.14 5	R( $\theta$ )=1.24 1, pol=-0.15 4, A <sub>2</sub> =+0.23 1, A <sub>4</sub> =-0.07 1.
								$\delta$ : Rose-Brink convention used in 2014Bh03. Sign reversed to Krane-Steffen convention for ENSDF policy.
1158.3 12	18.6 32	5476.6	4 <sup>+</sup>	4318.4	4 <sup>+</sup>	M1+E2 <sup>#</sup>		R( $\theta$ )=1.42 7.
1218.7 23	9.5 27	9171	6 <sup>-</sup>	7952.6	5 <sup>-</sup>	M1+E2 <sup>#</sup>		pol=-0.66 10.
1238.9 7		5181.9		3943.0	3 <sup>+</sup>			
1263.7 21		6978.5	5 <sup>+</sup>	5715.5	4 <sup>+</sup>			
1274.1 20		3083.2		1809.0	2 <sup>+</sup>			
1302.7 13		6484.7		5181.9				
1359.4 3		5691.5	1 <sup>+</sup>	4332.0	2 <sup>+</sup>			
1365.0 11		5715.5	4 <sup>+</sup>	4350.7	3 <sup>+</sup>	M1+E2 <sup>#</sup>		
1379.2 11		4318.4	4 <sup>+</sup>	2939.3	2 <sup>+</sup>			
1411.4 4	24.0 30	4350.7	3 <sup>+</sup>	2939.3	2 <sup>+</sup>	M1+E2		R( $\theta$ )=1.16 3, pol=-0.05 6.
1494.0 14		8472.6	6 <sup>+</sup>	6978.5	5 <sup>+</sup>	M1+E2 <sup>#</sup>		
1501.8 10		6978.5	5 <sup>+</sup>	5476.6	4 <sup>+</sup>	M1+E2		R( $\theta$ )=0.6 8, pol=-0.47 12.
1533.4 8	8.0 27	5476.6	4 <sup>+</sup>	3943.0	3 <sup>+</sup>	M1+E2		R( $\theta$ )=1.19 83, pol=-0.12 15.
1611.4 17		3420.5		1809.0	2 <sup>+</sup>	D+Q		R( $\theta$ )=1.08 2.
1628.3 12		9830	7 <sup>+</sup>	8201	6 <sup>+</sup>	M1(+E2) <sup>#</sup>		
1642.3 7		8903.6	3 <sup>-</sup>	7261.2	2 <sup>-</sup>			
1680.0 10		7395.5	5 <sup>+</sup>	5715.5	4 <sup>+</sup>	M1+E2 <sup>#</sup>		
1756.1 19		3565.2		1809.0	2 <sup>+</sup>			
1771.1 14		6953.1	(2) <sup>+</sup>	5181.9				
1772.0 11		5715.5	4 <sup>+</sup>	3943.0	3 <sup>+</sup>	M1+E2 <sup>#</sup>		
1779.6 21		3588.7	0 <sup>+</sup>	1809.0	2 <sup>+</sup>	E2		R( $\theta$ )=2.2 15, pol=+1.7 28.
1809.2 10	259 10	1809.0	2 <sup>+</sup>	0.0	0 <sup>+</sup>	E2 <sup>‡</sup>		R( $\theta$ )=1.87 4; pol=+0.53 15.
1900.1 20	10.0 27	4839.2	2 <sup>+</sup>	2939.3	2 <sup>+</sup>	M1(+E2) <sup>#</sup>		
2122.5 8		5711.3		3588.7	0 <sup>+</sup>			
2133.1 10	17.1 27	3943.0	3 <sup>+</sup>	1809.0	2 <sup>+</sup>	M1(+E2)		R( $\theta$ )=1.11 5, pol=-0.63 55.
2271.8 10		6622.6	4 <sup>+</sup>	4350.7	3 <sup>+</sup>			
2353.0 20		5292.4	2 <sup>+</sup>	2939.3	2 <sup>+</sup>			
2509.0 20	73 21	4318.4	4 <sup>+</sup>	1809.0	2 <sup>+</sup>	(E2) <sup>#</sup>		R( $\theta$ )=1.2 16.
2523.0 20	40 53	4332.0	2 <sup>+</sup>	1809.0	2 <sup>+</sup>			pol=-0.57 61.
2541.0 20		4350.7	3 <sup>+</sup>	1809.0	2 <sup>+</sup>	M1+E2 <sup>#</sup>		pol=-0.34 91.
2660.0 20		6978.5	5 <sup>+</sup>	4318.4	4 <sup>+</sup>	M1+E2 <sup>#</sup>		
2752.0 20		5691.5	1 <sup>+</sup>	2939.3	2 <sup>+</sup>			
2777.0 20		5715.5	4 <sup>+</sup>	2939.3	2 <sup>+</sup>	[E2] <sup>#</sup>		
2836.0 13		4645.2		1809.0	2 <sup>+</sup>	D+Q		R( $\theta$ )=1.13 7.
2938.9 10		2939.3	2 <sup>+</sup>	0.0	0 <sup>+</sup>	E2 <sup>‡</sup>		R( $\theta$ )=2.20 17, pol=+1.05 33.

Continued on next page (footnotes at end of table)

$^{18}\text{O}(^{13}\text{C},\alpha n\gamma)$  **2014Bh03 (continued)** $\gamma(^{26}\text{Mg})$  (continued)

$E_\gamma$	$I_\gamma$	$E_i(\text{level})$	$J_i^\pi$	$E_f$	$J_f^\pi$	Mult. <sup>†</sup>	Comments
3030.0 20		4839.2	2 <sup>+</sup>	1809.0	2 <sup>+</sup>		
3030.0 20		6973.2	4 <sup>+</sup>	3943.0	3 <sup>+</sup>	D+Q <sup>‡</sup>	R( $\theta$ )=0.95 3.
3092.0 20	35.3 34	4901.2	4 <sup>+</sup>	1809.0	2 <sup>+</sup>	E2(+M3)	R( $\theta$ )=1.74 4, pol=+0.17 12.
3300.0 20		8201	6 <sup>+</sup>	4901.2	4 <sup>+</sup>	E2(+M3) <sup>#</sup>	
3318.0 20		7261.2	2 <sup>-</sup>	3943.0	3 <sup>+</sup>	[E1] <sup>#</sup>	
3340.0 20		7283.2	4 <sup>-</sup>	3943.0	3 <sup>+</sup>	E1	R( $\theta$ )=1.09 1, pol=+0.8 13.
3453.0 20		7771.6	4 <sup>+</sup>	4318.4	4 <sup>+</sup>		
3600.0 20		7543.3	2 <sup>-</sup>	3943.0	3 <sup>+</sup>	[E1] <sup>#</sup>	
3634.0 20		7952.6	5 <sup>-</sup>	4318.4	4 <sup>+</sup>	E1+M2	R( $\theta$ )=1.19 1, pol=+0.8 14.
3667.0 20		5476.6	4 <sup>+</sup>	1809.0	2 <sup>+</sup>	[E2] <sup>#</sup>	
3695.0 20		6634.6	1 <sup>+</sup>	2939.3	2 <sup>+</sup>		
3824.0 20		9539.9	5 <sup>+</sup>	5715.5	4 <sup>+</sup>		
3882.0 20		5691.5	1 <sup>+</sup>	1809.0	2 <sup>+</sup>		
4160.0 20	8.6 25	7099.7	2 <sup>+</sup>	2939.3	2 <sup>+</sup>		
5221.0 20		9539.9	5 <sup>+</sup>	4318.4	4 <sup>+</sup>	D+Q <sup>#</sup>	

<sup>†</sup> From R( $\theta$ ) with gate on  $\Delta J=2$  transition and polarization (pol) values, unless otherwise stated.

<sup>‡</sup> R( $\theta$ ) value for gate on  $\Delta J=1$  transition.

<sup>#</sup> From Adopted Levels.

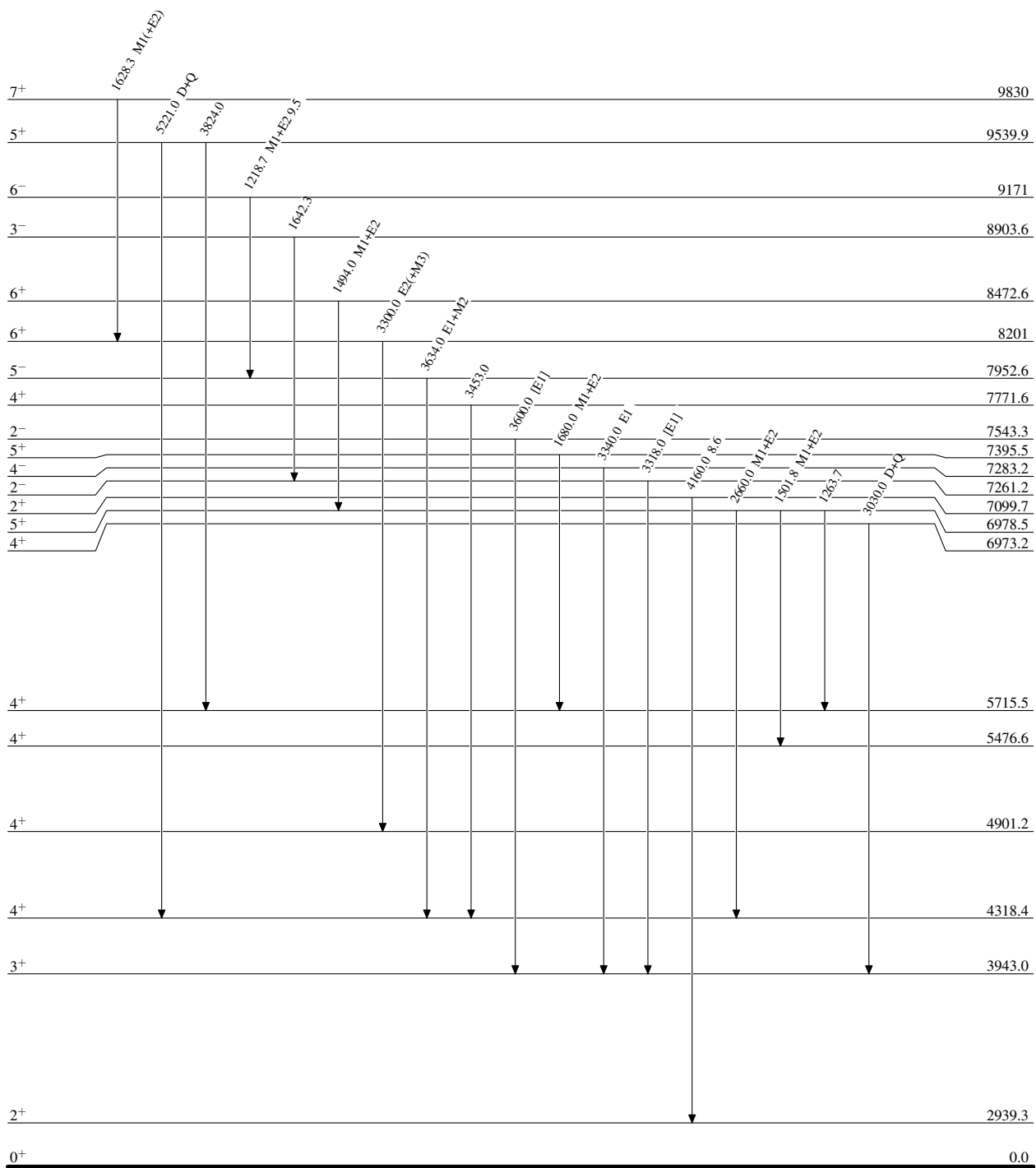
$^{18}\text{O}(^{13}\text{C},\alpha\gamma)$  2014Bh03

## Level Scheme

Intensities: Relative  $I_\gamma$ 

## Legend

- $I_\gamma < 2\% \times I_\gamma^{\max}$
- $I_\gamma < 10\% \times I_\gamma^{\max}$
- $I_\gamma > 10\% \times I_\gamma^{\max}$

 $^{26}_{12}\text{Mg}_{14}$

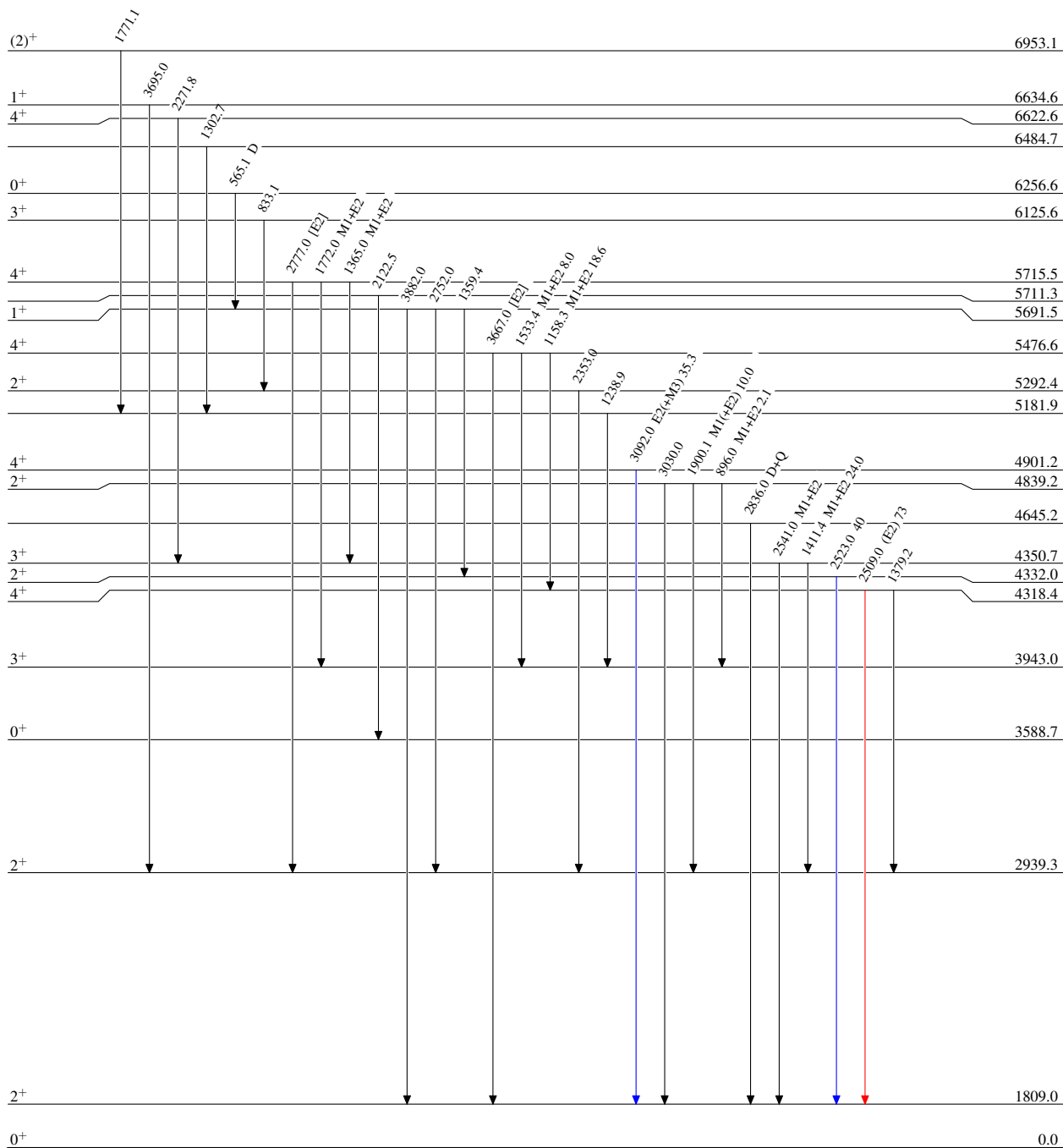
$^{18}\text{O}(^{13}\text{C},\alpha\gamma)$  2014Bh03

## Level Scheme (continued)

Intensities: Relative  $I_\gamma$ 

## Legend

- $I_\gamma < 2\% \times I_\gamma^{\max}$
- $I_\gamma < 10\% \times I_\gamma^{\max}$
- $I_\gamma > 10\% \times I_\gamma^{\max}$

 $^{26}_{12}\text{Mg}_{14}$

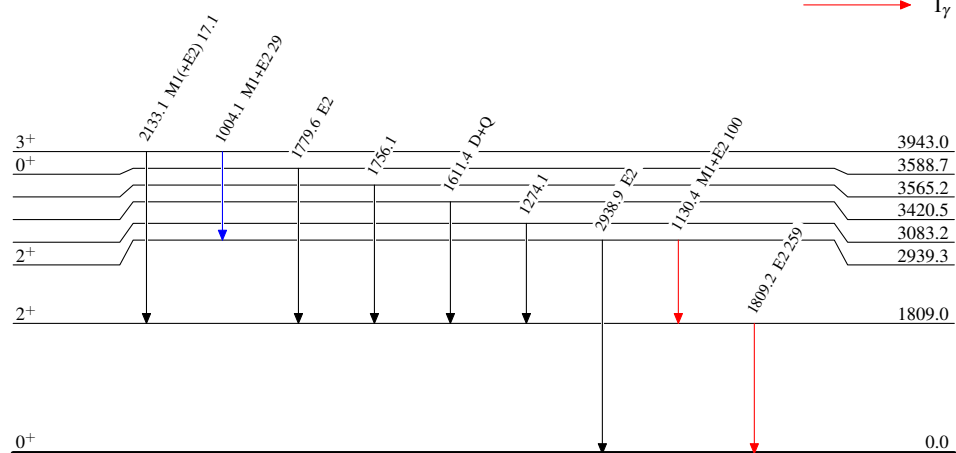
$^{18}\text{O}(^{13}\text{C},\alpha n\gamma)$  2014Bh03

## Level Scheme (continued)

Intensities: Relative  $I_\gamma$ 

## Legend

- $I_\gamma < 2\% \times I_\gamma^{\max}$
- $I_\gamma < 10\% \times I_\gamma^{\max}$
- $I_\gamma > 10\% \times I_\gamma^{\max}$

 $^{26}_{12}\text{Mg}_{14}$